

PROF. DR. H. HOYER

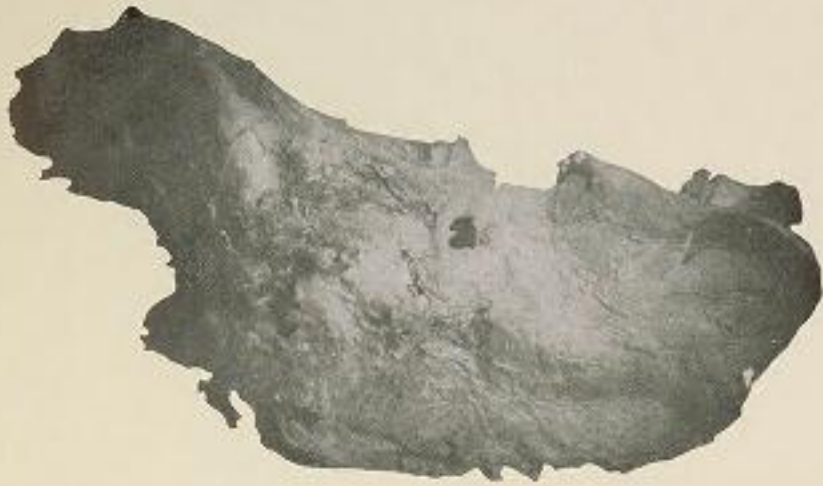
CZĘŚCI MIĘKKIE GŁOWY NOSOROŻCA  
I SKÓRA MAMUTA

TABLICE:  
LVII—LXIV.

TABLICA LVII.

Ryc. 1. Części miękkie prawej strony głowy nosorożca.

- 2. Przekrój poprzeczny przez błonę śluzową podniebienia. Widoczne są brodawki łącznotkankowe i warstwa nabłonka. Powiększenie: Zeiss A, t. j. 63 razy.
- 3. Nabłonek wielowarstwowy płaski podniebienia w powiększeniu: Zeiss D, t. j. 250 razy.
- 4. Chrzątka sprężysta zewnętrznego przewodu usznego, zabarwiona metodą Weigerta. Widoczne są puszki komórek; włókna sprężyste. Powiększenie: Zeiss D, t. j. 250 razy.
- 5. Włókno mięsne prążkowane z wargi nosorożca. Powiększenie: Zeiss D, t. j. 250 razy.
- 6. Przekrój poprzeczny przez pęczek nerwa podoczodołowego, w którym widać perineurium i poszczególne włókna nerwowe. Powiększenie: Zeiss A, t. j. 63 razy.



1.



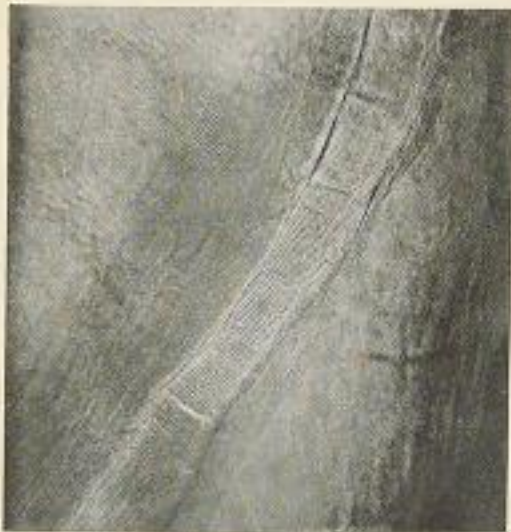
2.



3.



4.



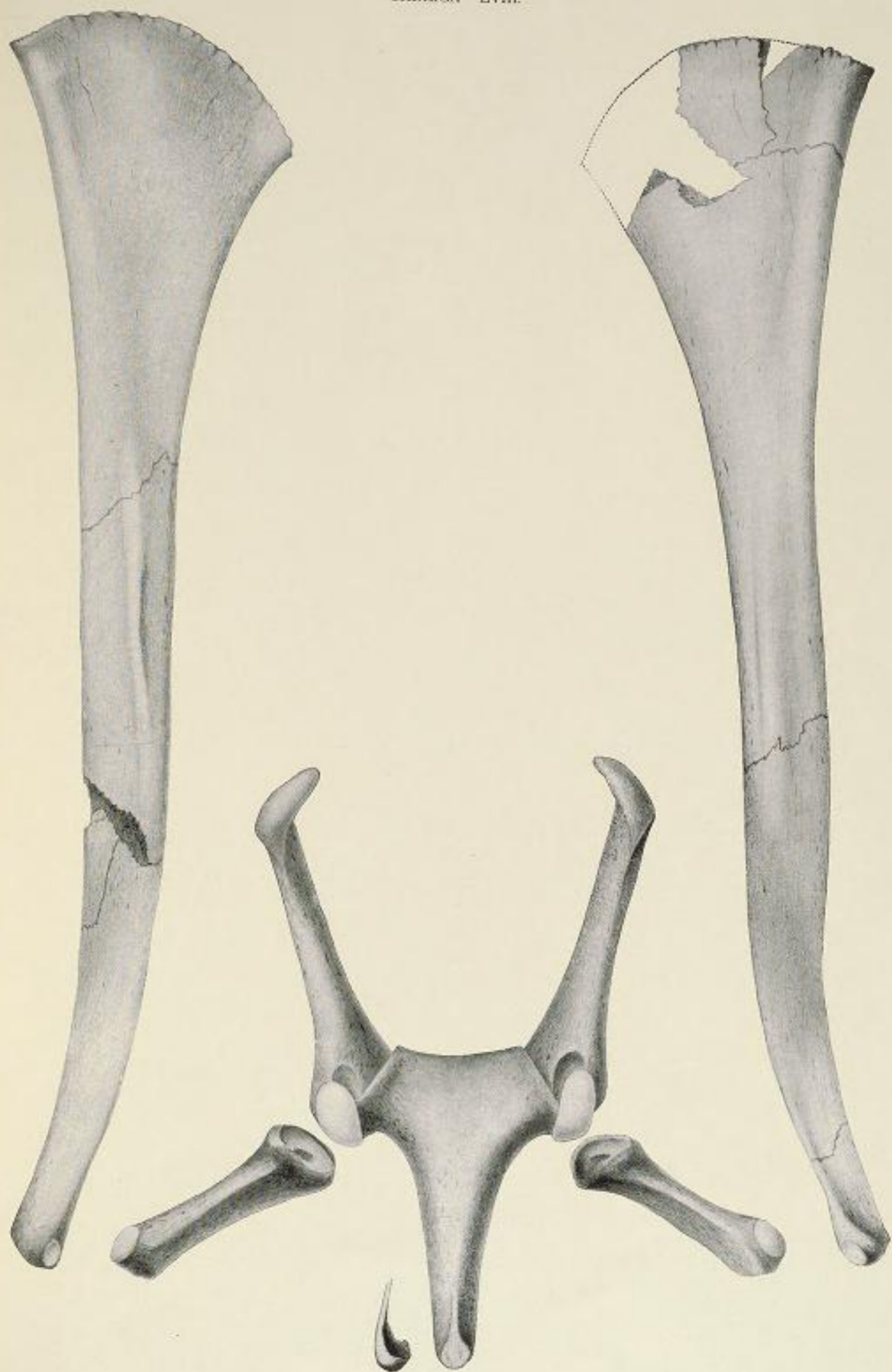
5.



6.

TABLICA LVIII.

Ryc. 7. Kość podjęzykowa nosorożca w naturalnych rozmiarach.



TABLICA LIX.

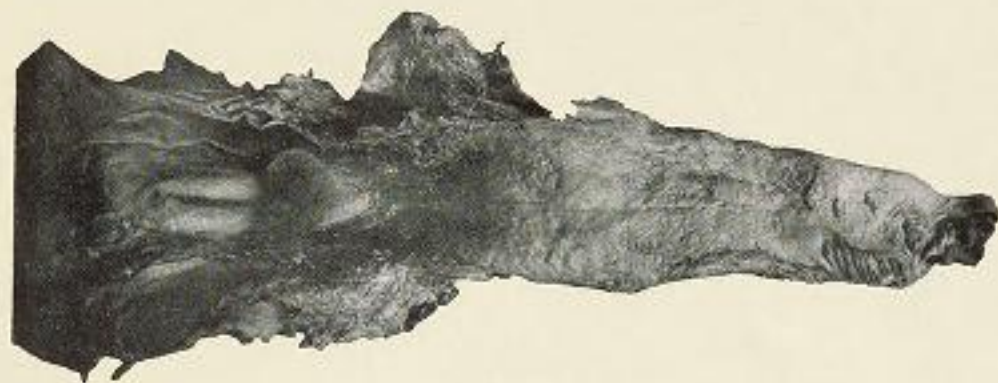
- Ryc. 8. Kawałek wargi górnej lewej strony. Widoczne są otworki dla włosów i same włosy. Kawałek  $3\frac{1}{2}$  razy powiększony.
- 9. Części miękkie podniebienia twardego i miękkiego, widziane od strony języka, zmniejszone do  $\frac{1}{3}$ .
  - 10. Język nosorożca i część gardzieli wraz z wejściem do krtani, zmniejszone prawie do  $\frac{1}{3}$ .



8.



9.



10.

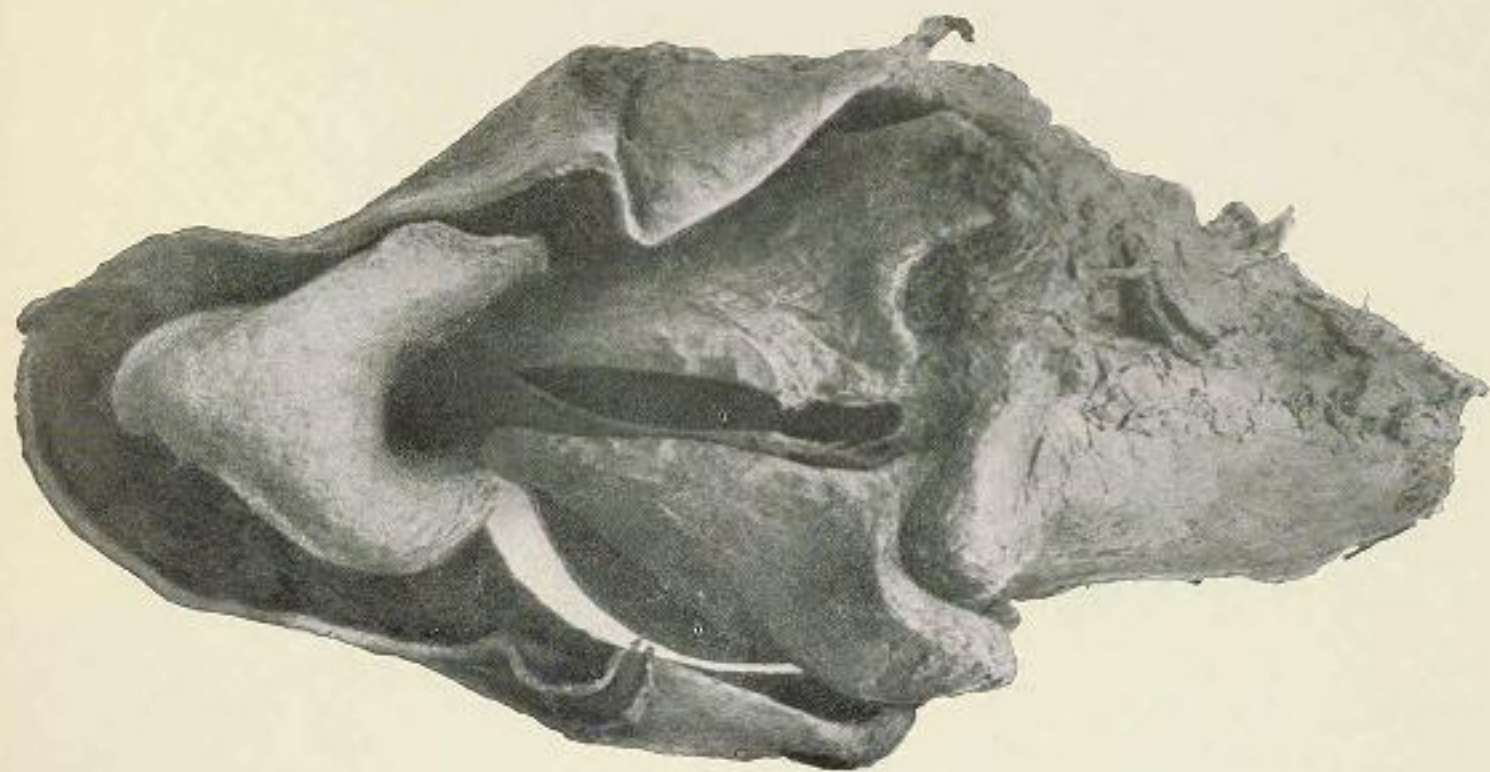
TABLICA LX.

Ryc. 11. Krtkań od strony lewej w naturalnych rozmiarach.

- 12. Krtkań od strony górnej i tylnej. Lewa chząstka nalewkowa odpreparowana leży luźno na błonie śluzowej. Rozmiary naturalne.



11.



12.

TABLICA LXI.

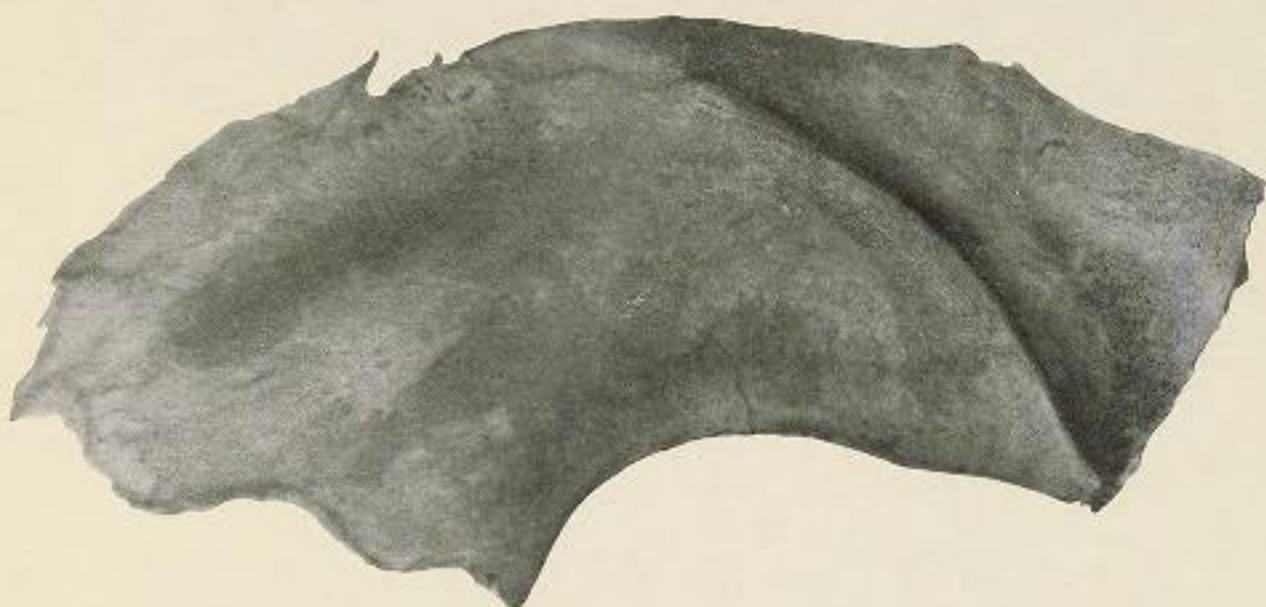
- Ryc. 13. Lewa chrząstka nalewkowa, widziana z boku i z zewnątrz. Rozmiary naturalne.
- 14. Przegroda nosowa *in situ*.
  - 15. Lewa chrząstka skrzydlata nosa, widziana z zewnątrz. Rozmiary naturalne.
  - 16. Chrząstki podstawowe przegrody nosa w naturalnych rozmiarach, widziane z góry i z wewnątrz.



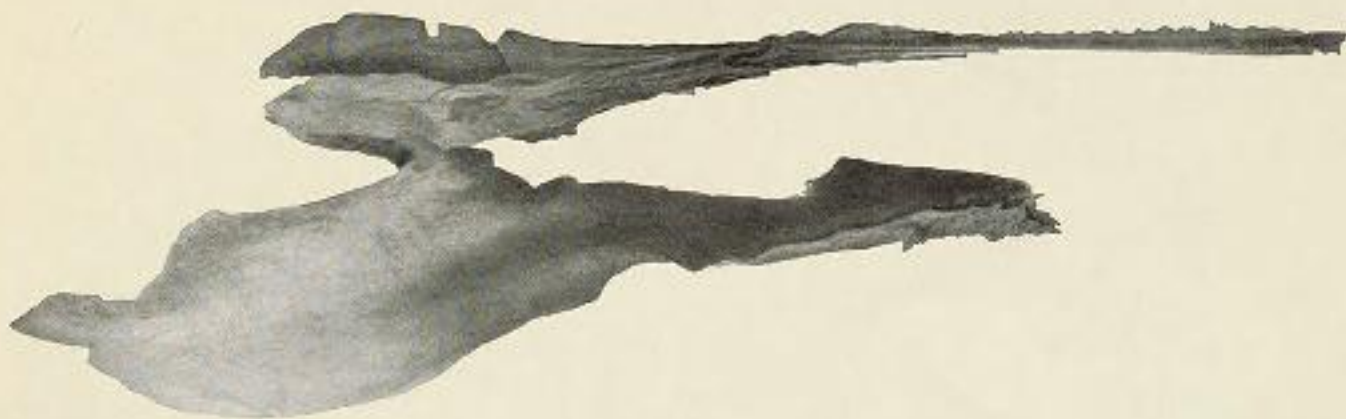
13.



14.



15.



16.

TABLICA LXII.

Ryc. 17. Lewa muszla z zewnątrz, o  $\frac{1}{4}$  powiększona.

• 18. „ „ z wewnątrz, o  $\frac{1}{4}$  „

• 19. Przekrój przez skórę warg prostopadle do kierunku włosów. Powiększenie: Zeiss A, t. j. 63 razy.

• 20. Przekrój poprzeczny (szlif) przez róg. Powiększenie: Zeiss A, t. j. 63 razy.

• 21. „ podłużny „ „ „ „ „ „ 63 „

• 22. Skóra nosorożca z policzka prawego. Dwa razy powiększona.



17.



18.



19.



20.



21.



22.

TABLICA LXIII.

- Ryc. 23. Przekrój przez skórę policzka nosorożca w kierunku włosów 12 razy powiększony.
- 24. Przekrój przez skórę policzka nosorożca prostopadły do kierunku włosów. Widać liczne poprzecznie przekrojone torebki włosowe. Powiększenie: Zeiss A, t. j. 63 razy.
  - 25. Skóra głowy mamuta z włosami o  $\frac{1}{8}$  powiększona.
  - 26. Przekrój skóry z głowy mamuta w kierunku włosów, 12 razy powiększony.
  - 27. Lewe oko nosorożca z przodu według fotografii prof. Kadyi'ego.
  - 28. Fotografia modelu nosorożca wykonanego przez Königa.



23.



24.



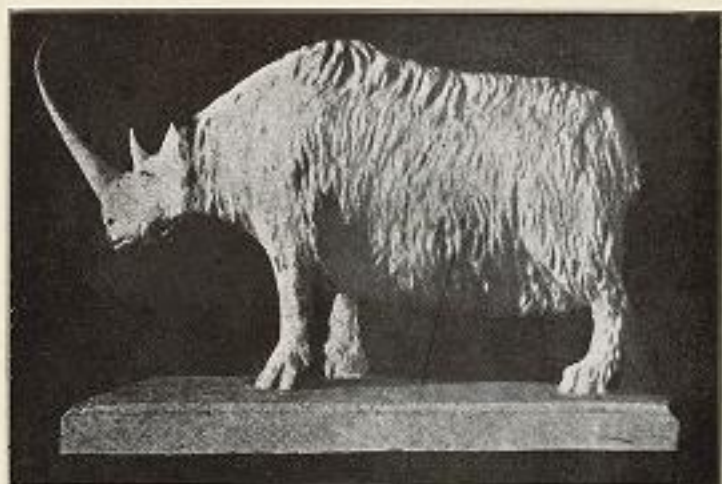
25.



26.



27.



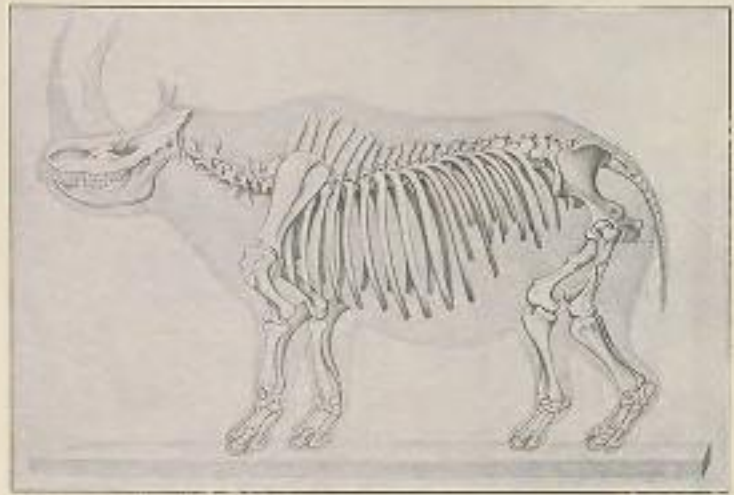
28.

TABLICA LXIV.

- Ryc. 29. Rekonstrukcyja nosorożca starożytnego według Abła.  
> 30. „ „ „ włochatego według Brandta.  
> 31. „ „ „ „ według Knighta.  
> 32. Rysunek na łupku, wykopany w jaskini „grotte du Trilobite“ koło Azy-sur-Cure w departamencie Yonne przez X. Parata. Poniżej uzupełnienie tego rysunku, wykonane przez X. Breuila.  
> 33. Rysunek na ścianie jaskini Font-de-Gaume w dolinie rzeki Vézère w Dordogne według X. Breuila.  
> 34. Nosorożec włochaty przezemnie zrekonstruowany (rysunek St. Weignera).



29.



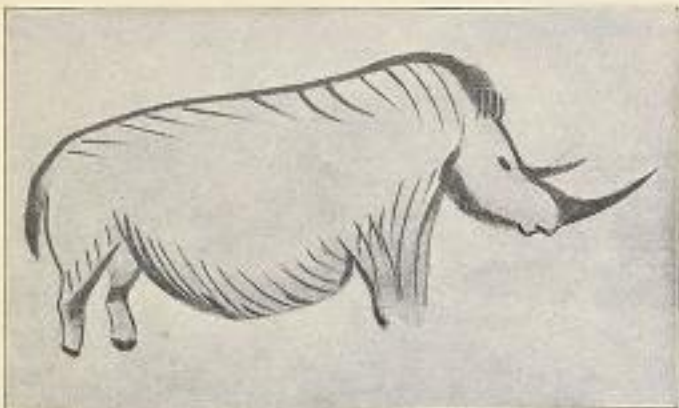
30.



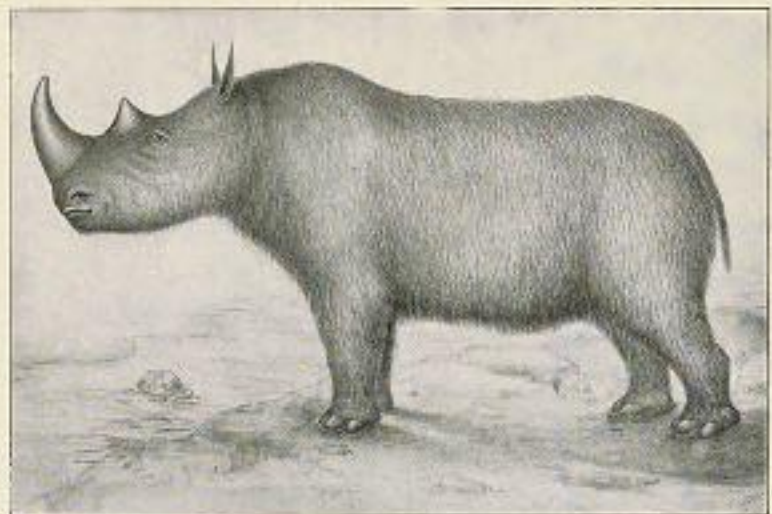
31.



32.



33.



34.